

Supplement of The Cryosphere, 14, 925–934, 2020  
<https://doi.org/10.5194/tc-14-925-2020-supplement>  
© Author(s) 2020. This work is distributed under  
the Creative Commons Attribution 4.0 License.



*Supplement of*

**Strong changes in englacial temperatures despite insignificant changes in ice thickness at Dôme du Goûter glacier (Mont Blanc area)**

**Christian Vincent et al.**

*Correspondence to:* Christian Vincent ([christian.vincent@univ-grenoble-alpes.fr](mailto:christian.vincent@univ-grenoble-alpes.fr))

The copyright of individual parts of the supplement might differ from the CC BY 4.0 License.

## Supplementary Material

Table 1 : Coordinates X Y Z, emergence velocities (m w.e.  $a^{-1}$ ) and horizontal velocities (m  $a^{-1}$ ) for the three periods 1997-2004, 2009-2011 and 2016-2017.

### 1997-2004

950367,0	103509,0	4234,1	2,4	9,7
950302,0	103533,0	4234,1	2,1	9,4
950246,7	103441,6	4244,3	1,3	3,4
950507,2	103304,8	4293,0	0,5	1,4
950186,2	103484,2	4244,3	1,4	4,0
950248,2	103558,7	4238,0	2,4	8,5
950534,6	103357,9	4291,9	1,2	2,6
950437,3	103337,1	4268,4	0,8	3,0
950484,2	103398,5	4269,7	1,0	3,5
950408,4	103287,9	4268,5	0,3	1,5
950334,5	103342,4	4265,2		
950428,7	103435,7	4253,0	1,3	5,0
950360,8	103402,3	4252,9	1,5	4,2
949917,2	103613,9	4302,3	0,4	0,6
949949,3	103535,0	4293,6	0,8	1,5
949965,5	103571,5	4296,1	0,7	1,5
949981,8	103632,7	4296,0	0,8	2,0
950025,2	103754,5	4276,0	3,2	8,2
950101,9	103803,2	4256,6	2,6	6,6
950032,2	103639,2	4282,3	2,7	6,8
950008,3	103581,1	4288,1	1,9	3,9
949967,9	103458,3	4277,5	0,5	1,5
950021,9	103489,2	4275,7	0,6	2,0
950054,9	103546,8	4274,4	2,5	5,5
950068,1	103640,5	4271,3	3,1	7,5
950238,8	103477,2	4240,2	1,6	4,1
950227,8	103576,9	4239,8	3,1	9,1
950075,7	103687,4	4267,3	3,2	8,2
950140,1	103713,2	4250,3	3,0	9,4
950111,8	103579,5	4261,7	*	8,3
950044,6	103445,8	4259,5	0,4	2,7
950105,9	103437,2	4244,7	*	*
950166,1	103501,0	4246,9	1,8	4,6
950426,8	103345,1	*	0,8	2,6
950143,7	103607,9	4253,6	3,3	7,4
950378,1	103430,2	4247,3	1,3	4,4
950323,2	103352,7	4252,6	0,9	2,4
949901,4	103645,4	4302,0	0,5	0,5
950522,0	103355,3	4287,1	0,9	*
950480,9	103293,1	4285,7	0,3	1,0

### 2009-2011

950452,3	103337,6	4271,1	0,9	2,9
950362,1	103398,6	4249,6	1,1	4,0
950394,2	103484,1	4237,9	1,3	6,7
950336,7	103515,8	4234,4	2,1	9,2

950282,5	103533,4	4234,9	1,7	8,5
950247,6	103618,8	4232,6	2,9	12,3
950228,2	103695,8	4232,8	*	13,0
950010,8	103574,8	4286,6	1,1	3,3
950114,9	103580,1	4257,4	2,7	8,3
950259,4	103438,0	4244,2	1,0	3,1
950255,5	103446,2	4243,3	1,0	3,9
950180,4	103588,2	4244,9	2,4	9,0
950153,4	103656,6	4248,9	*	9,6
950240,0	103566,4	*	2,5	8,3

### 2016-2017

950233,5	103692,7	4231,9	2,3	11,9
950251,7	103614,1	4231,3	2,4	11,2
950288,9	103549,6	4232,5	1,7	8,9
950336,5	103519,6	4233,8	1,9	8,4
950390,7	103482,4	4237,9	1,3	6,4
950446,8	103342,3	4269,1	0,5	2,7
950360,8	103398,2	4249,6	0,8	3,6
950261,2	103443,0	4243,5	1,1	3,4
950229,9	103556,8	4236,4	2,1	7,4
950121,3	103579,6	4256,6	2,3	7,5
950009,6	103578,6	4288,4	1,7	3,2

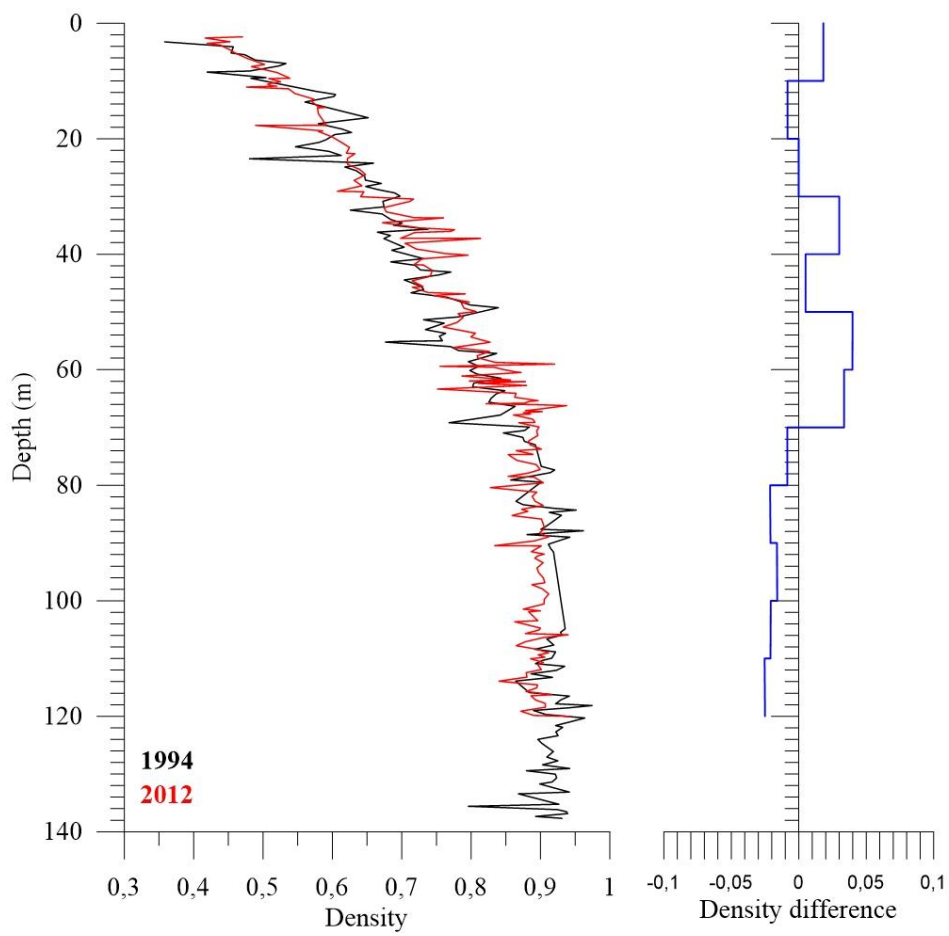


Figure S1: Relative density profiles in 1994 (black line) and 2012 (red line) and difference 2012-1994 (blue line) for each interval of 10 m.